

## بررسی الگوی جریان و توزیع تنش برشی روی سرریزهای جانبی با ورودی تیزگوش و گردگوش

آمنه کاریزی و تورج هنر<sup>۱</sup>

(تاریخ دریافت: ۱۳۸۷/۶/۲؛ تاریخ پذیرش: ۱۳۸۸/۸/۳۰)

### چکیده

سرریزهای جانبی از جمله سازه‌های آبی می‌باشند که معمولاً به عنوان سازه‌های اضطراری در تأسیسات هیدرولیکی بزرگ چون سدها و شبکه‌های آبیاری و زهکشی به کار برده می‌شوند که به علت حساسیت موضوع نیاز به طراحی و بررسی دقیق دارند. لذا کاربرد روش‌های شبیه‌سازی و حل عددی در طراحی این گونه از سازه‌های آبی می‌تواند از اهمیت ویژه‌ای برخوردار باشد. در این پژوهش الگوی جریان و نحوه توزیع تنش برشی روی انواع سرریزهای جانبی لبه‌هن با پهنا و شکل ورودی همراه با دیهای متفاوت از طریق شبیه‌سازی عددی در حالت‌های ۲ بعدی و ۳ بعدی مورد بررسی قرار گرفت. سپس نتایج با داده‌های آزمایشگاهی مقایسه گردید. آزمایش‌ها در یک کanal مستطیلی همراه با یک سرریز جانبی به طول ۷۰ سانتی‌متر روی سرریزهایی با ورودی تیزگوش و گردگوش با شعاع‌های گردشگری ۵ و ۱۰ و ۱۵ سانتی‌متری در یک دیه ثابت با نسبت آبگیری  $1/4$  و  $1/6$  به ترتیب در کanal‌های اصلی و فرعی انجام شد. بررسی و مقایسه حل عددی با نتایج آزمایشگاهی در این تحقیق مؤید آن است که در سرریزهای جانبی با ورودی گردشده به میزان قابل توجهی از تنش برشی واردہ بر کف و دیوارهای سرریز جانبی و همچنین جریان‌های چرخشی غیر مؤثر در ابتدای ورودی سرریز جانبی در مقایسه با حالت تیز گوشه کاسته شده که این امر نهایتاً موجب افزایش راندمان آبگیری گردیده است.

واژه‌های کلیدی: تنش برشی، سرریزهای جانبی، شبیه‌سازی عددی

### مقدمه

روداخانه‌ها و کanal‌ها استفاده می‌شود. این نوع سرریز در کناره کanal‌ها تعییه شده و هنگامی که ارتفاع آب به تراز تاج سرریز می‌رسد، آب مازاد شروع به ورود به کanal فرعی می‌نماید. رفتار هیدرولیکی جریان در حالت متغیر مکانی در طول کanalی همراه با سرریز جانبی در مقایسه با جریان یکنواخت کاملاً متفاوت است. در واقع این جریان حالتی از جریان

جهت آبگیری از هر کanal اصلی در پروژه‌های آبیاری و زهکشی، پخش سیلان و ... احتیاج به تأسیساتی جهت انحراف آب می‌باشد. از متداولترین این گونه از سازه‌ها، سرریزهای جانبی هستند. سرریز جانبی یکی از قدیمی‌ترین سازه‌های هیدرولیکی است که به عنوان یک سازه انحراف آب در

۱. به ترتیب دانشجوی سابق کارشناسی ارشد و استادیار مهندسی آب، دانشکده کشاورزی، دانشگاه شیراز  
\* : مسئول مکاتبات، پست الکترونیکی: toorajhonar@yahoo.com

سرریزهای مثلثی در کanal مستقیم نصب شده بودند، مقایسه نمود. نتایج وی نشان داد که ضرایب دبی سرریزهای جانبی مثلثی واقع شده در طول کanal های خمیده، بیشتر از مقادیر به دست آمده در کanal های مستقیم می باشد (۴). هنر و همکاران ضریب تخلیه سرریزهای جانبی مایل در کanal های مستطیلی غیرمنتشری را بررسی نمودند. نتایج بررسی آنان نشان داد که نسبت ضریب تخلیه به عدد فرود در ابتدای سرریز، نسبت ارتفاع سرریز به عمق آب در ابتدای سرریز، نسبت عمق آب روی سرریز به طول سرریز و عامل منتشری کanal بستگی دارد (۳).

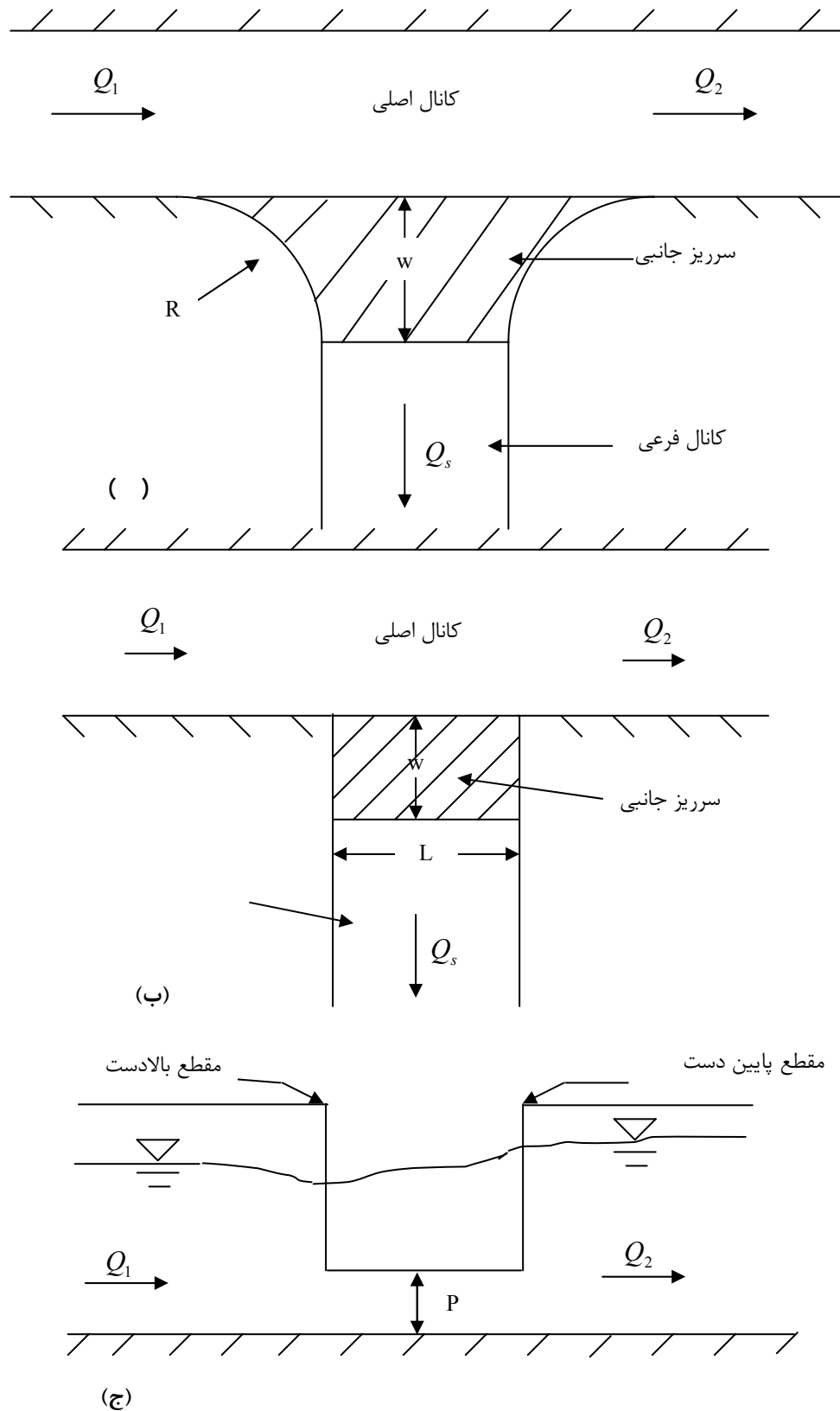
با مروری بر تحقیقات گذشته مشخص شد که مطالعات پیشین برای شرایط و حالت های مختلفی از نقطه نظر مقطع کanal اصلی، شکل سرریز جانبی و رژیم جریان در کanal اصلی صورت گرفته است و تاکنون تأثیر گردشده است در ورودی سرریزهای جانبی بررسی شده است. لذا با توجه به اهمیت موضوع و تحقق در جهت افزایش راندمان آبگیری، این تحقیق در آزمایشگاه هیدرولیک بخش مهندسی آب دانشگاه شیراز روی سرریزهای جانبی مستطیلی تخت با ورودی گردشده صورت گرفت.

## مواد و روش ها

آزمایش ها در فلوم آزمایشگاه هیدرولیک دانشکده کشاورزی دانشگاه شیراز انجام گردید. در این تحقیق کanal اصلی دارای مقطع مستطیلی با عرض ۵۰ سانتی متر، عمق ۴۰ سانتی متر، طول ۱۵ متر و شیب ۰/۳ در ۱۰۰۰ است. جهت اطمینان کامل از تثبیت جریان و ایجاد شرایط تعادل محل سرریز جانبی در وسط کanal اصلی تعییه گردید. سرریزهای جانبی مورد استفاده در این تحقیق از جنس سنگ چینی و از نوع تخت بودند. دبی عبوری از کanal ۲۵ لیتر بر ثانیه و در تمام آزمایش ih ثابت در نظر گرفته شد. مشخصات سرریزهایی که مورد استفاده قرار گرفت، شامل ارتفاع ۱۰ سانتی متر، سه پهنه ای متفاوت ۵، ۱۰ و ۱۵ سانتی متری با طول سرریز ۷۰ سانتی متر بود (شکل ۱). در

می باشد که در آن شدت جریان در طول کanal اصلی کاهش می یابد که تحلیل آن نسبتاً از پیچیدگی خاصی برخوردار می باشد. بدیهی است که اگر تخمین دقیقی از الگوی جریان و شدت جریان و همچنین سایر پارامترهای هیدرولیکی سرریزهای جانبی داشته باشد می تواند تأثیر شایانی در طراحی دقیق و اصولی سرریزهای جانبی داشته باشد.

در قرن حاضر هیدرولیک جریان روی سرریزهای جانبی علاقمندان زیادی را به خود جلب کرده است. اغلب این تحقیقات صرفاً جنبه تجربی داشته و براساس داده های مشاهده ای استوار بوده است. با مطالعه پژوهش های انجام شده و دسته بندی آنها بر اساس مقطع کanalی که در آن سرریز نصب گردیده، می توان دریافت که اکثر محققین با انجام آزمایش هایی به ارزیابی روابط سرریزهای جانبی در کanal های مستطیلی پرداخته اند (۵ و ۸). در خصوص کanal های با مقطع دایره ای شکل نیز مطالعاتی در سال های گذشته انجام شده است (۶ و ۹). فرارویی نیز ضریب تخلیه سرریز جانبی در کanal های ذوزنقه ای را تحت تأثیر شیب دیواره بالا دست در دو حالت انتهای کanal مسدود و باز بررسی نمود. نتایج حاصل از مطالعات وی نشان می دهد که برای حالت های انتها باز و انتها بسته خصوصیات جریان متفاوت می باشد، به طوری که مدل ارائه شده تحت شرایط انتها باز، تخمین بسیار مناسبی از دبی سرریز جانبی ارائه می نماید. ولی در حالت انتها بسته نتایج رضایت بخش نمی باشد (۲). موسلو ابتدا جریان را روی سرریز جانبی بر اساس اصول انرژی با استفاده از یک تکنیک برآرازش منحنی پایه گذاری نمود و به صورت عددی آن را آنالیز نمود و در نهایت جهت توسعه و بسط معادلات عمومی دبی و پروفیل سطح آب، سرریز جانبی را در طول به نوارهای المانی باریک تقسیم و با استفاده از پارامترهای هیدرولیکی سرریز جانبی را مورد نرم ال شده، پارامترهای هیدرولیکی سرریز جانبی را مورد ارزیابی قرار داد (۷). کوثر و آقاچیگلو به مطالعه روی ضریب دبی سرریزهای مثلثی شکل با زاویه رأس های متفاوت نصب شده در کanal های خمیده پرداخت و نتایج را با حالتی که



شکل ۱. نمایی از محل نصب سرریز جانبی: (الف) پلان ورودی گردگوش، ب) پلان ورودی تیزگوش و ج) پروفیل طولی

به میزان قابل توجهی کمتر شده است. همین امر باعث افزایش راندمان آبگیری در حالت گردگوشه نسبت به تیزگوشه می‌گردد. همچنان در این تحقیق نحوه توزیع تنش برشی رینولدز روی سرریز جانبی نیز با استفاده از داده‌های آزمایشگاهی مورد بررسی قرار گرفت. همان‌طور که در شکل ۳ دیده می‌شود در ابتدای ورودی تیزگوشه (R0) بیشترین مقدار تنش برشی رینولدز وجود دارد. در مقطع ورودی تنش برشی نسبت به سایر نقاط بقدری زیاد شده که تشکیل یک قله داده است. در واقع اوج تشکیل و شکل‌گیری جریان‌های چرخشی غیر مؤثر (که کمترین نقش در انتقال آب و آبگیری را دارا هستند)، در این قسمت به وجود می‌آید، ولی توزیع تنش برشی در حالت‌های گردگوشه با شاععهای ۵ و ۱۵ سانتی‌متر از توزیع یک‌نواخت‌تری نسبت به حالت تیزگوشه برخوردار می‌باشد که این مسأله به خاطر کاهش حجم جریان‌های چرخشی غیر مؤثر و کاهش شکستگی خطوط جریان در انتقال از کanal اصلی به فرعی و یک‌نواختی جریان و عبور از سرریز جانبی می‌باشد. لازم به ذکر است که تنش برشی از رابطه ۱ محاسبه می‌باشد.

[۱]

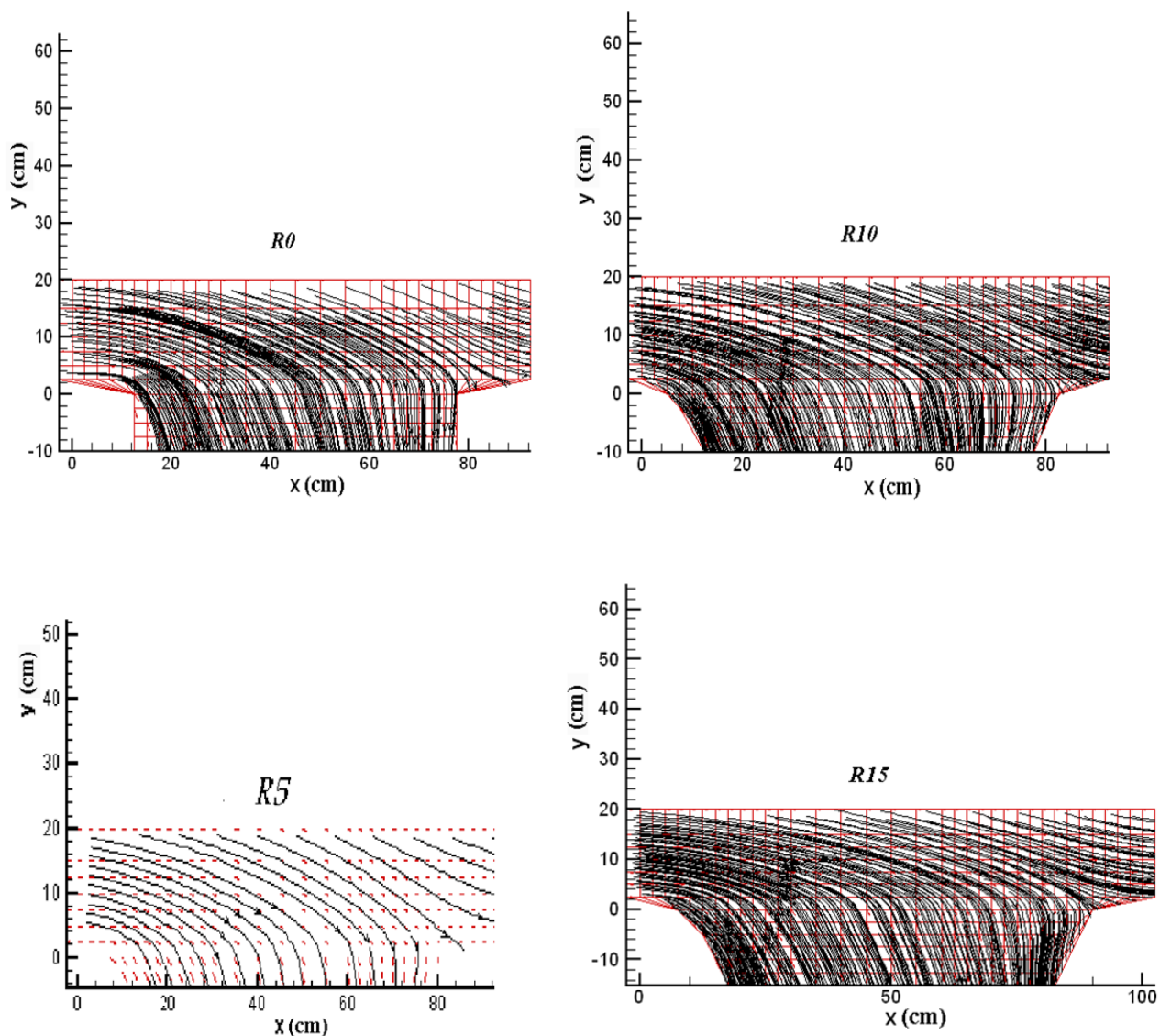
$$\tau = -\rho u' v'$$

در رابطه فوق:  $\tau$  = تنش برشی رینولدز (پاسکال)،  $\rho$  = جرم حجمی آب (کیلوگرم بر متر مکعب)،  $u'$  = تفاضل سرعت جریان در هر نقطه و میانگین سرعت در جهت X محور مختصات (متر بر ثانیه)،  $v'$  = تفاضل سرعت جریان در هر نقطه و میانگین سرعت در جهت Y محور مختصات (متر بر ثانیه) می‌باشد.

از مسائلی که در دهانه ورودی سرریزهای جانبی وجود دارد که موجب کاهش راندمان آبگیری می‌شود، تشکیل جریان‌های ثانویه در دهانه ورودی می‌باشد. یکی از عوامل ایجاد اینگونه جریان‌ها عدم یک‌نواختی سرعت بین بالادست و پایین دست سرریز می‌باشد. بنابراین هر اقدامی که موجب یک‌نواختی سرعت در بالادست و پایین دست سرریز جانبی شود، موجب می‌گردد که از توان این جریان‌ها کاسته شود و در نتیجه راندمان

این آزمایش جریان عبوری پس از عبور از روی سرریز جانبی وارد کanal فرعی شده و سپس در انتهای آن توسط یک سرریز مثلثی از قبل کالایر شده، دبی خروجی تعیین و هم‌زمان دبی جریان ورودی توسط شیر الکترونیکی ثبت می‌گردید. در این پژوهش، شاععهای گردشگی در ورودی سرریز جانبی ۵ و ۱۰ و ۱۵ سانتی‌متر در نظر گرفته شد که در نهایت با حالت ورودی تیزگوشه مقایسه گردید. اندازه‌گیری سرعت آب روی سرریز جانبی برای بررسی الگوی جریان توسط دستگاه سرعت سنج الکترومگنتیک که قادر است سرعت سیال را دو جهت عمود برهم در یک صفحه افقی در هر نقطه دلخواه اندازه‌گیری کند، انجام شد. در این آزمایش سرعت در عمق ۰/۶ از سطح آب روی سرریز تا وسط کanal اصلی در طول، عرض و در فاصله ۲/۵ سانتی‌متری از یکدیگر اندازه‌گیری و توسط نرم افزار Tecplot الگوی جریان و توزیع تنش برشی ترسیم شد و با استفاده از نرم‌افزار Fluent در حالت‌های دو بعدی و سه بعدی در شرایط آزمایشگاهی شبیه‌سازی و با نتایج واقعی مقایسه و کنترل گردید.

در شکل ۲ خطوط جریان به صورت دو بعدی در طول سرریز جانبی در حالت‌های مختلف نشان داده شده است. در این شکل آب از سمت چپ در کanal اصلی در جریان می‌باشد. در واقع قسمت بالای تصویر معادل کanal اصلی و قسمت پایینی تصویر معادل سرریز جانبی و جریان عبوری از آن می‌باشد. با بررسی الگوی جریان روی سرریز جانبی در ورودی‌های گردگوشه در مقایسه با حالت تیزگوشه می‌توان دریافت که به نحو چشمگیری از میزان جداشده‌گی جریان در لبه ورودی سرریز جانبی و هم‌چنان از میزان جریان‌های چرخشی غیر مؤثر روی سرریز جانبی کاسته می‌شود که این امر باعث افزایش راندمان آبگیری گردیده است. در واقع نمودارهای الگوی جریان روی سرریز جانبی در حالت گردگوشه دارای توزیع یک‌نواخت‌تری نسبت به حالت تیزگوشه می‌باشند. در واقع در حالت گردگوشه درصد کمی از جریان عبوری بر روی سرریز جانبی به صورت چرخشی درآمده و جداشده‌گی جریان



R0 : ورودی تیزگوشه

R5 : ورودی گردشده با شعاع گردشگی ۵ سانتی متر

R10 : ورودی گردشده با شعاع گردشگی ۱۰ سانتی متر

R15 : ورودی گردشده با شعاع گردشگی ۱۵ سانتی متر

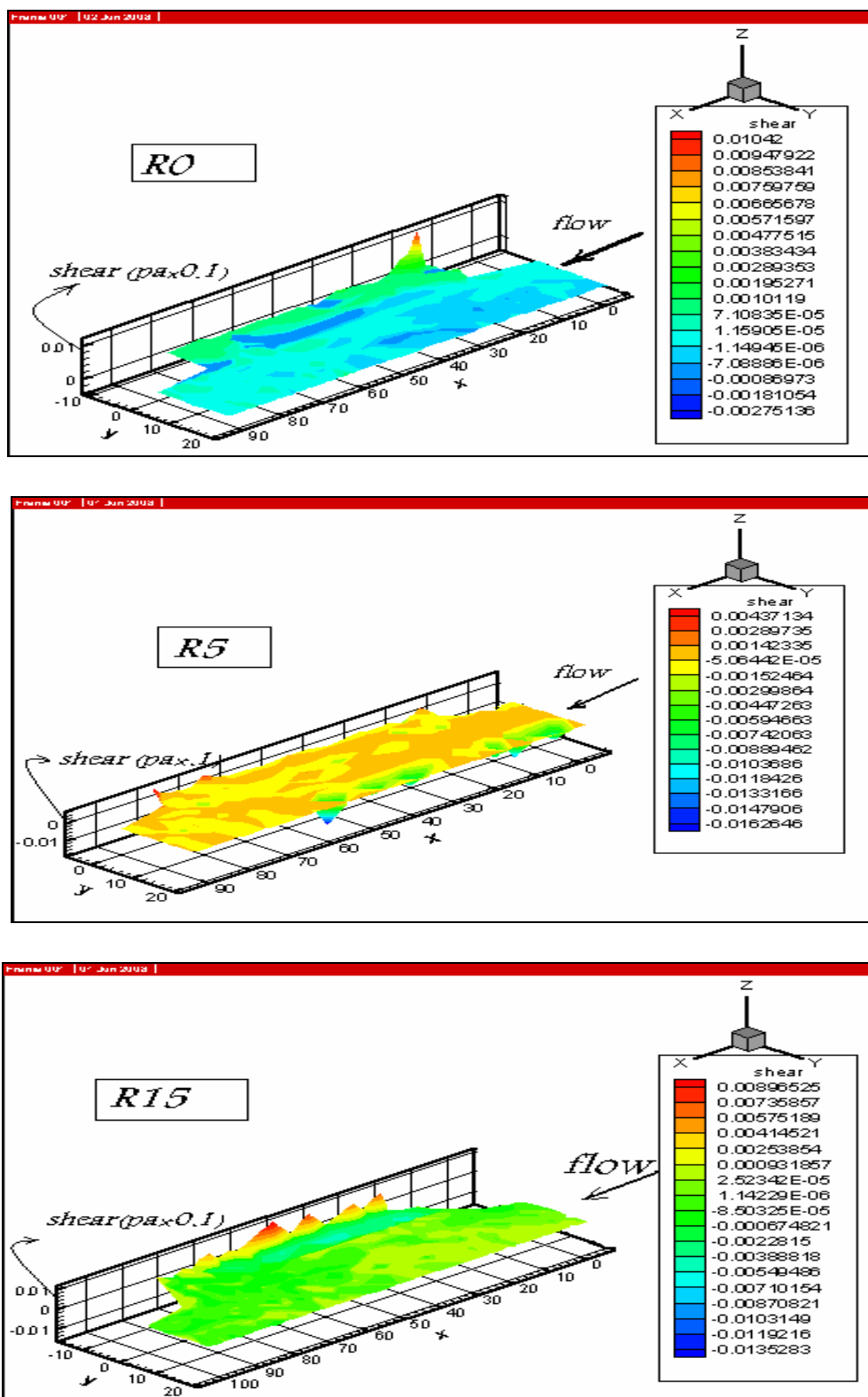
شکل ۲. نمایش خطوط جریان در شرایط سرریز با ارتفاع ۱۰ سانتی متر

$$\alpha = \frac{1}{AV^r} \sum_i v_i^r A_i \quad [2]$$

$$\beta = \frac{1}{AV^r} \sum_i v_i^r A_i \quad [3]$$

در روابط فوق  $A$  سطح مقطع کanal،  $V$  مقدار میانگین سرعت در مقطع،  $v_i$  اندازه سرعت در نقطه اندازه گیری  $i$  ام و

آبگیری در شرایط یکسان افزایش یافته و این مسئله در واقع می تواند موجب کاهش طول سرریز و هزینه های اجرایی گردد. با اندازه گیری مقادیر سرعت در هر مقطع و استفاده از روابط زیر مقادیر ضرایب تصحیح انرژی جنبشی و مومتومن برای دو حالت تیزگوشه و گردگوشه تعیین گردید.



شکل ۳. توزیع تنش برشی در طول سرریزهای جانبی

ورودی گردشده یکنواختی بیشتری ایجاد می‌گردد. همان‌طور که در شکل‌های ۴ و ۵ مشاهده می‌شود در حالت ورودی گردگوشه مقادیر ضرایب  $\alpha$  و  $\beta$  در تمام مقاطع موجود بر روی سرریز بسیار نزدیک به عدد ۱ می‌باشد. اما در حالت تیزگوشه در مقطع ورودی مقادیر  $\alpha$  و  $\beta$  زیاد شده و به تدریج در طول سرریز جریان یکنواخت‌تر گردیده و این مقادیر به عدد ۱ نزدیک‌تر شده‌اند. در واقع هر چه به لبه انتهایی سرریز نزدیک‌تر شویم مقادیر  $\alpha$  و  $\beta$  به عدد ۱ نزدیک‌تر می‌شود. در حالت کلی مقایسه ضرایب  $\alpha$  و  $\beta$  در لبه ورودی سرریز جانبی برای دو حالت تیزگوشه و گردگوشه نشان دهنده یکنواختی بیشتر جریان در حالت گردگوشه نسبت به تیزگوشه می‌باشد. به منظور مقایسه نتایج آزمایشگاهی با استفاده از نرم افزار دینامیک سیالات محاسباتی تمامی حالت‌های آزمایشگاهی شبیه‌سازی گردید که پاره‌ای از نتایج آن در ادامه ارائه گردیده است. همان‌طور که در شکل‌های ۶ و ۷ مشاهده می‌شود، مسیر جریان در ابتدای ورودی سرریز جانبی در حالت سه بعدی توسط نرم افزار و با استفاده از معادلات آشفتگی ( $\epsilon - k$ ) ترسیم گردیده است که به وضوح کاهش میزان جریان‌های چرخشی در حالت گردگوشه در مقایسه با حالت تیزگوشه نمایان است و همان‌طور که روشن است با توجه به خطوط مسیر جریان در حالت سه بعدی در ابتدای ورودی سرریز جانبی در حالت تیزگوشه حجم عده‌ای از جریان در تشکیل جریان‌های چرخشی غیر مؤثر در آبگیری نقش داشته که این میزان در حالت گردگوشه به کمتر از نصف، نسبت به حالت تیزگوشه کاهش می‌یابد هم‌چنین توزیع سرعت در حالت گردگوشه از یکنواختی بیشتری نسبت به حالت تیزگوشه برخوردار می‌باشد. با استفاده از مقادیر به دست آمده از نرم افزار Fluent در حالت دو بعدی مقایسه‌ای از نظر میزان تنش برشی وارد بر دیواره‌های داخلی و خارجی سرریز جانبی در حالت‌های ورودی تیزگوشه و گردگوشه انجام گرفته است که نتایج آن در شکل‌های ۸ و ۹ ارائه گردیده است. آنالیز نمودارهای تنش برشی وارد بر دیواره‌های خارجی و داخلی مؤید کاهش میزان

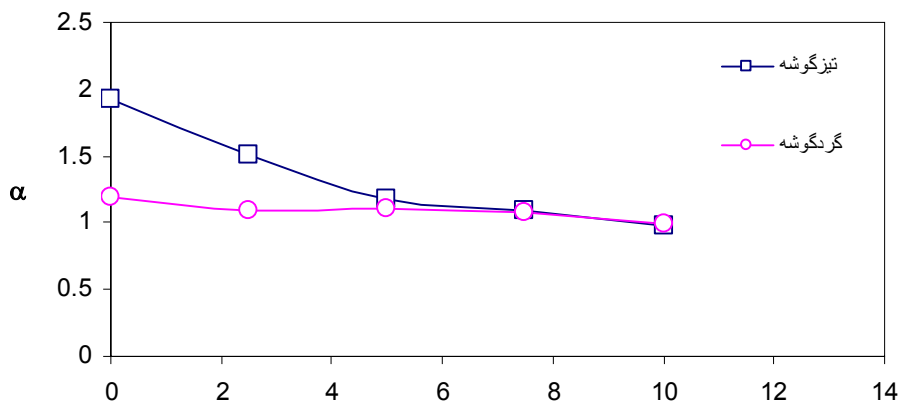
$A_i$  المان مساحت در اطراف نقطه  $i$  ام است.

مقایسه جریان در دهانه ورودی سرریزهای جانبی لبه پهن تخت با دهانه ورودی گردشده و دهانه ورودی تیزگوشه با محاسبه ضرایب تصحیح انرژی جنبشی ( $\alpha$ ) و تصحیح مومنتوم ( $\beta$ )، مشخص می‌کند در حالتی که دهانه ورودی سرریز جانبی گردگوشه باشد، یکنواختی جریان بیشتری نسبت به حالت تیزگوشه ایجاد می‌گردد. هم‌چنین نتایج نشان می‌دهد در شرایط آزمایشگاهی اگر دهانه ورودی سرریز جانبی با شعاع ۱۵ سانتی‌متر دارای این ضرایب به عدد یک نزدیک‌تر می‌شود. این موضوع خود موجب ایجاد یکنواختی بیشتر جریان در محدوده سرریز جانبی خواهد شد.

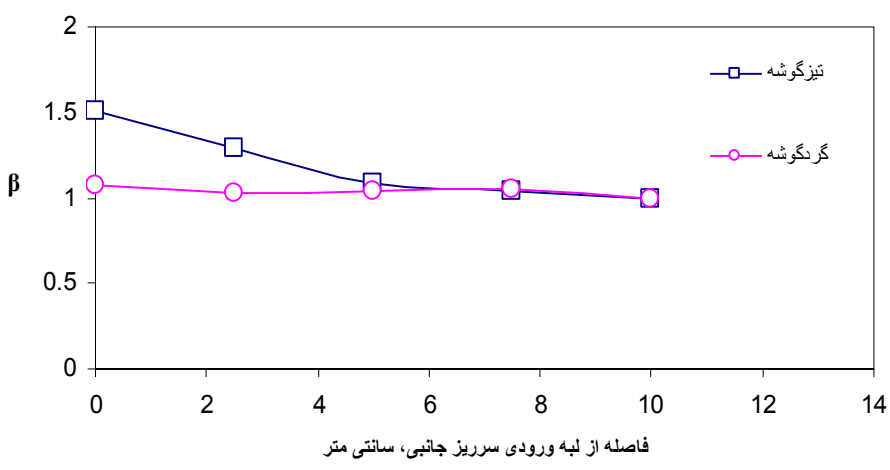
در نمودارهای شکل‌های ۴ و ۵ مقادیر ضرایب انرژی جنبشی و مومنتوم در حالت‌های تیزگوشه و گردشده با شعاع ۱۵ سانتی‌متر مقایسه گردیده‌اند، همان‌طور که مشاهده می‌شود با توجه به پهنه‌ای سرریز در حالت‌های تیزگوشه و گردگوشه، مقطع عرضی صفر موید ابتدای ورودی سرریز جانبی یعنی مimas با لبه کانال اصلی می‌باشد و سایر مقاطع عرضی سرریز نیز با توجه به فاصله آن از لبه ورودی بررسی شده‌اند.

نتایج محاسبات نشان می‌دهد، ماکریم مقدار ضریب آلفا در حالت تیزگوشه و در ابتدای ورودی سرریز جانبی برابر با ۱/۹۳ می‌باشد در حالیکه ماکریم مقدار این ضریب در ورودی گردگوشه با شعاع ۱۵ سانتی‌متر برابر با ۱/۱۹ در همان ابتدای ورودی سرریز جانبی می‌باشد که با فاصله گرفتن از ابتدای ورودی در هر دو حالت این ضرایب به سمت عدد یک نزدیک‌تر می‌شوند قابل ذکر است که محققین قبلی در زمینه آبگیر تحقیقاتی انجام داده و به نتایج مشابه رسیده‌اند(۱).

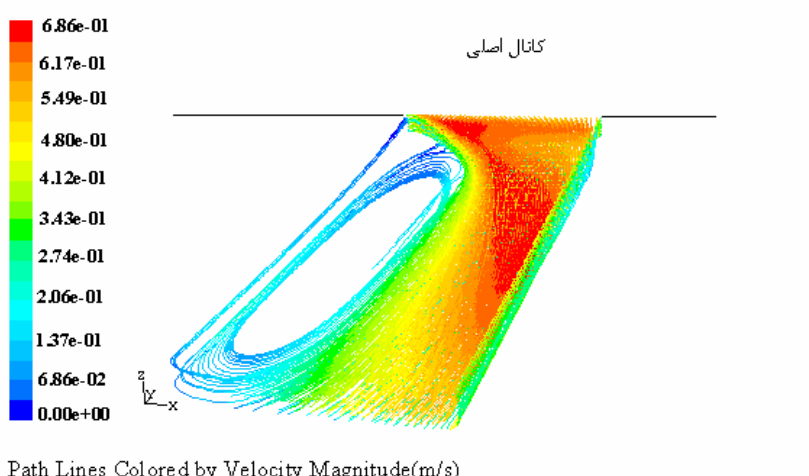
با بررسی مقادیر ضریب تصحیح مومنتوم ( $\beta$ ) مشخص می‌شود که بیشترین مقدار  $\beta$  در ابتدای ورودی سرریز جانبی در حالت تیزگوشه برابر با ۱/۰۵ می‌باشد که این مقدار در حالت گردگوشه با شعاع گردشده‌کی ۱۵ سانتی‌متر به ۱/۰۷ می‌رسد و به ترتیب با فاصله گرفتن از لبه ورودی سرریز جانبی و روی آن این مقادیر به یک نزدیک‌تر شده و در نهایت در حالت



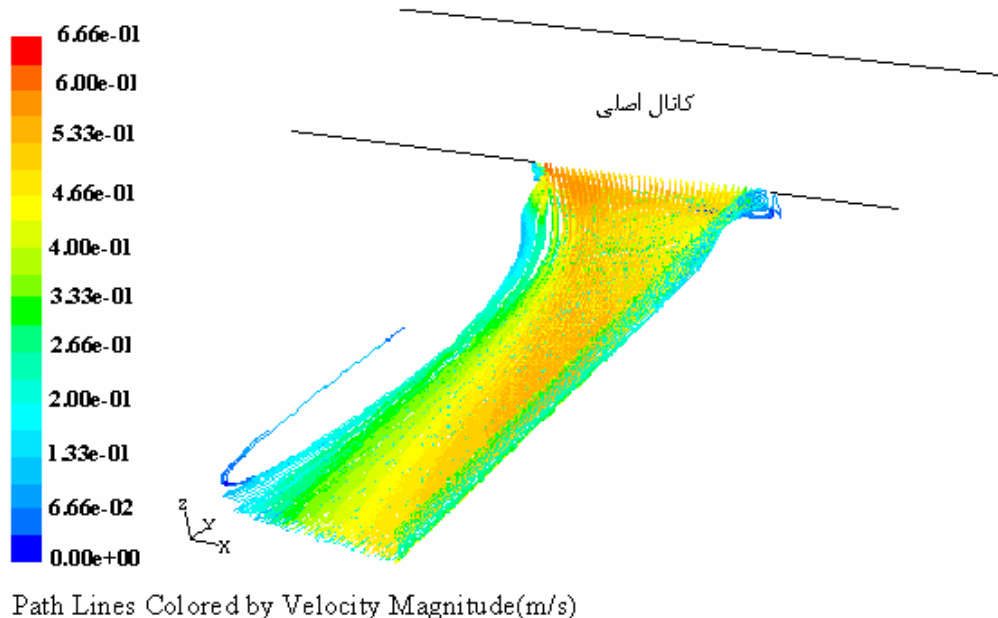
شکل ۴. تغییرات ضرایب انرژی جنبشی در طول سرریز جانبی



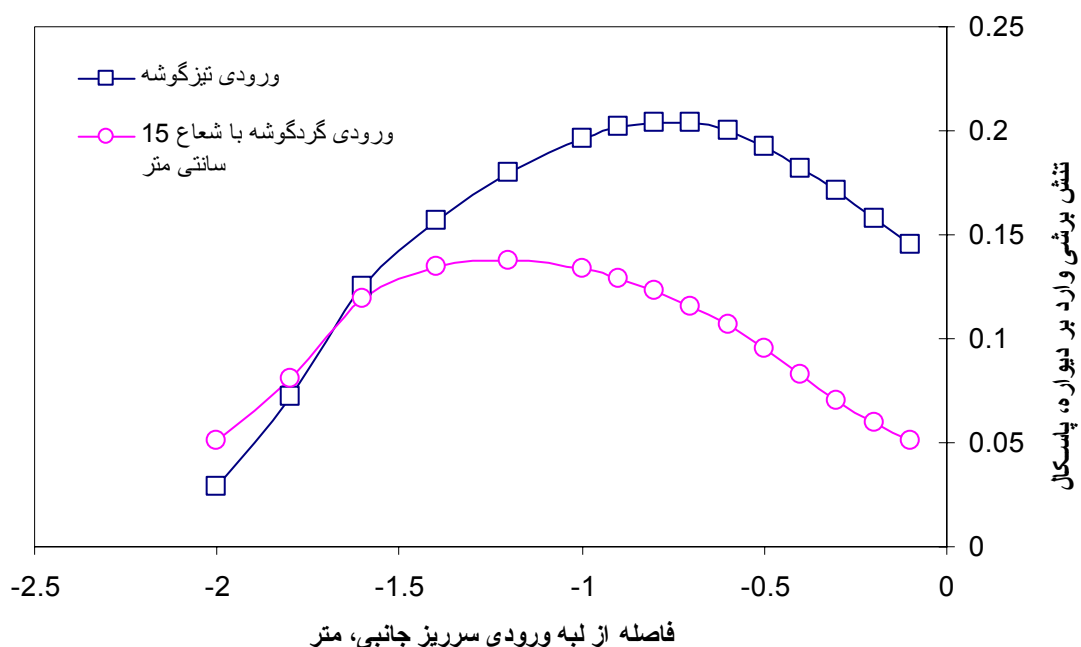
شکل ۵. تغییرات ضرایب مومنتوم در طول سرریز جانبی



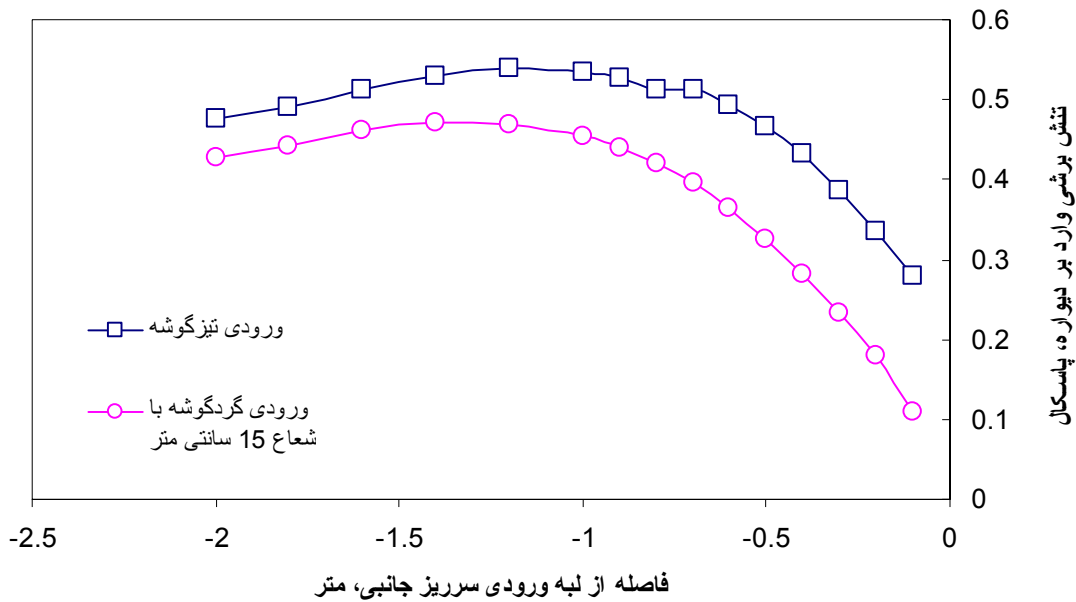
شکل ۶. مسیر جریان با توجه به اندازه‌های سرعت درابتدا ورودی سرریز جانبی در حالت تیزگوش



شکل ۷. مسیر جریان با توجه به اندازه‌های سرعت در ابتدای ورودی سرریز جانبی در حالت گردگوش



شکل ۸. نمودار مقایسه تنش برشی وارد بر دیواره داخلی



شکل ۹. نمودار مقایسه تنش برشی وارد بر دیواره خارج

راندمان آبگیری می‌شود کاسته و جدادشده‌گی جریان نیز در این منطقه کاهش می‌یابد. هم‌چنین مقایسه مقادیر ضرایب تصحیح انرژی جنبشی و مومنتوم ( $\alpha$  و  $\beta$ ) در حالت ورودی گردگوش و تیزگوش نشان می‌دهد در حالت گردگوش مقادیر  $\alpha$  و  $\beta$  در لبه ورودی سرریز جانبی به عدد یک نزدیک‌تر و در واقع شرایط افزایش یکنواختی جریان فراهم می‌شود. هم‌چنین مطالعات روی توزیع تنش برشی نیز در حالت ورودی گردگوش بیانگر یکنواختی بیشتر این پارامتر است. هم‌چنین مقایسه نتایج آزمایشگاهی و حل عددی هر دو بیانگر این مطلب هستند که با گردگوش کردن لبه‌های ورودی سرریز جانبی جدادشده‌گی جریان در لبه‌های ورودی سرریز جانبی کمتر شده و در واقع از میزان جریان‌های چرخشی که جریان‌های غیر مؤثر کاسته می‌گردد. بنابراین در نهایت نتیجه می‌گردد که با گرد کردن لبه‌های ورودی سرریز جانبی راندمان آبگیری یا میزان آبگیری در طول واحد و درصد جریان عبوری از سرریز افزایش می‌یابد که این نتیجه می‌تواند شرایطی ایجاد نماید در صورتی که با محدودیت مکانی روبرو هستیم ضمن کاهش هزینه‌های اجرایی شرایط بهتری برای عبور جریان فراهم نماییم.

تنش برشی وارد بر دیواره‌های داخلی و خارجی حالت گردگوش با شعاع گردشده‌گی ۱۵ سانتی‌متر می‌باشد که به عنوان نمونه با حالت تیزگوش نیز مقایسه گردیده است. بررسی و مقایسه حل عددی با نتایج آزمایشگاهی هر دو نشان‌دهنده این امر است که با گردگوش کردن لبه‌های ورودی سرریز جانبی به میزان قابل توجهی از جدادشده‌گی جریان در لبه ورودی سرریز جانبی کاسته گردیده و در نهایت آبگیری افزایش می‌یابد. بنابراین با توجه به نتایج برگرفته از نرم افزار Fluent و هم‌چنین داده‌های آزمایشگاهی، گردشده‌گی در ورودی سرریزهای جانبی لبه‌پهن می‌تواند به عنوان راهکاری جهت افزایش راندمان آبگیری و کاهش هزینه‌های اجرایی به خصوص در موقعی که مشکلات ناشی از عدم تخصیص مکان لازم جهت افزایش طول سرریز وجود داشته باشد مفید و راهگشا باشد.

### نتیجه‌گیری

مقایسه الگوی جریان در سرریز جانبی با ورودی گردگوش و تیزگوش نشان می‌دهد با گرد کردن لبه‌های ورودی سرریز جانبی از میزان جریان‌های چرخشی غیر مؤثر که باعث کاهش

### منابع مورد استفاده

۱. حبیبی، ل. و ع. ر. کشاورزی ۱۳۸۵. تعیین زاویه بهینه آبگیر جانبی به وسیله آنالیز جداسدگی جریان، در کanal اصلی با انتهای بسته (Dam Intake). مجموعه مقالات هفتمین سمینار بین‌المللی مهندسی رودخانه، بهمن ماه ۱۳۸۵، صفحات ۱۰-۱.
۲. فرارویی، م. ۱۳۷۹. بررسی هیدرولیک جریان و اصلاح ضریب تخلیه سرریز جانبی تحت تأثیر شیب دیواره در بالادست. پایان‌نامه کارشناسی ارشد، دانشکده کشاورزی، دانشگاه شیراز.
۳. هنر، ت.، م. جوان و ع. ر. کشاورزی ۱۳۸۱. بررسی ضریب تخلیه سرریزهای جانبی مایل در کanal‌های مستطیلی غیر منشوری. مجله علوم و فنون کشاورزی و منابع طبیعی ۶(۳): ۶۳ - ۷۵.

4. Cosar, A. and H. Agaccioglu. 2004. Discharge coefficient of a triangular side-weir located on a curved channel. *J. Irrig. and Drain. Eng.* ASCE 130(5):410-423.
5. Colling, V. K 1957. The discharge capacity of side weirs. *Proceedings Institute of Civil Engineers*, London, England, No. 6, PP. 288-304.
6. Hager, W. H. 1994. Supercritical flow in circular-shaped side weirs. *J. Irrig. and Drain. Eng.*, ASCE 120(1):1-12.
7. Muslu, Y. 2002. Lateral weir flow model using a curve fitting analysis. *J. Hydraul. Eng.* ASCE 128(7):712-715.
8. Subramanya, K. and S. C. Awasthy. 1972. Spatially varied flow over side weirs. *J. Hydraul. ASCE* 98(1): 1-10.
9. Uymaz, A. 1982. Theoretical and experimental investigations of flow over side weirs. PhD.Thesis, Istanbul Technol. Univ., Istanbul, Turkey. (Sited in Uymaz, 1997).